【正誤表】

書　　名：カーエアコン
版　　数：第1版1刷

ページ	箇所	誤	正
16	図2.8	等エンタルピー線	等エントロピー線
17	式(2.1)	$Q_{er} = (i_b - i_a)G_r$	$Q_{er} = (i_a - i_d)G_r$
	式(2.2)	$L = (i_c - i_b)Gr$	$L = (i_b - i_a)G_r$
	式(2.3)	$Q_{cr} = (i_c - i_b)Gr$	$Q_{cr} = (i_b - i_c)G_r$
18	図2.9 図内文字	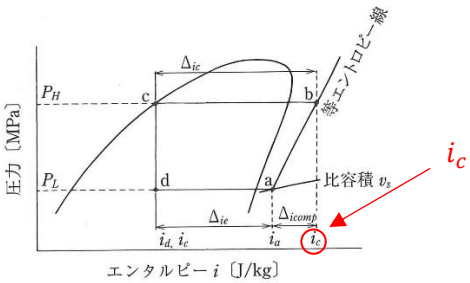 図 2.9　モリエル線図からの冷凍能力，動力算出	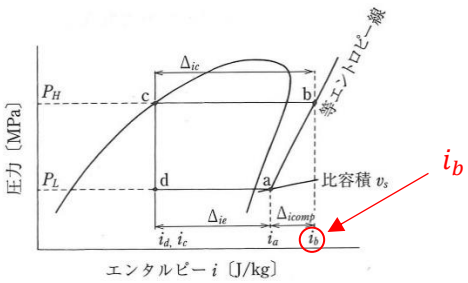 図 2.9　モリエル線図からの冷凍能力，動力算出
21	図2.12 図内文字	管温筒	感温筒
24	5行目	i_a:エバポレータ入口冷媒エンタルピー	i_a:エバポレータ出口冷媒エンタルピー
	6行目	i_b:エバポレータ出口冷媒エンタルピー	i_d:エバポレータ入口冷媒エンタルピー
25	6行目	$Q_{ea} = \phi \cdot Q_{ea} \cdot (i_a - i_r)$	$Q_{ea} = \phi \cdot G_{ea} \cdot (i_a - i_r)$
26	図2.22左図 図内文字	$Q_{ca}{}'$	Q'_{er}
27	1行目	冷媒側の能力が増加する （$Q_{ea} \rightarrow Q'_{ea}/Q_{ca} \rightarrow Q'_{ca}$）ため，	冷媒側の能力が増加する （$Q_{er} \rightarrow Q'_{er}/Q_{cr} \rightarrow Q'_{cr}$）ため，
	式(2.14)	$\mathrm{COP} = \cdots = \dfrac{(i_a - i_b)}{(i_b - i_a)}$	$\mathrm{COP} = \cdots = \dfrac{(i_a - i_d)}{(i_b - i_a)}$
	10行目	圧縮量	圧縮比
	図2.23 図内文字	i_c	$i_d{}'$
29	図2.27 図内文字	内観表面の螺旋溝	内管表面の螺旋溝

ページ	箇所	誤	正
30	式(2.15)	$Q=\phi\frac{V_1\times N\times 60\times\eta_v}{10^6V_s}(i_a-i_c)$	$Q=\phi\frac{V_1\times N\times 60\times\eta_v}{10^6V_s}(i_b-i_a)$
31	図3.1 図内文字	温度感覚	温熱感覚
32	8行目	乗員の温感	乗員の温熱感
33	図3.4 図内文字	頭部皮膚T_s〔℃〕	頭部皮膚温T_s〔℃〕
34	16行目	24SET*	SET*24℃
	下4,1行目	W/m^3	W/m^2
35	下2行目	乾き空気 1 kg	乾き空気 1 kg′
38	図3.13 図内文字	P_{H_2O} （水蒸気分圧）	$P_{s\,H_2O}$ （水蒸気分圧）
	式(3.6)	$\Psi=\frac{P_{H_2O}}{P_{H_2O}}\times 100$	$\Psi=\frac{P_{H_2O}}{P_{s\,H_2O}}\times 100$
39	下7行目	乾き空気 1 kg	乾き空気 1 kg′
41	10行目	比容積v_1を用いなれけばなりません.	比容積v_1を用いなければなりません.
	式(3.8) 単位	[kJ/h′]	[kJ/kg′]
	式(3.9)	W_E[kJ/h] = …	W_E[kg/h] = …
44	下7行目	空気の湿度	空気の温度
	下6行目	温度を下げ	湿度を下げ
46	下8行目	HVAC (Heating, Ventilation and Air-Conditioning)	HVAC (Heating, Ventilating and Air-Conditioning)
47	4行目	低音冷媒	低温冷媒
54	図3.41 図内文字	非常に反応性の強いを ・OH, ・O_2^-を生成	非常に反応性の強い ・OH, ・O_2^-を生成
60	図3.51 図内文字	温冷感新申告値	温冷感申告値
62	図3.55 図内文字	花粉除去システム作動時	従来システム作動時

ページ	箇所	誤	正
82	図5.4 右図	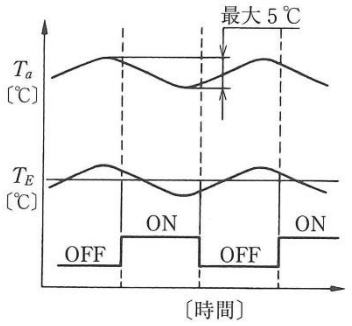	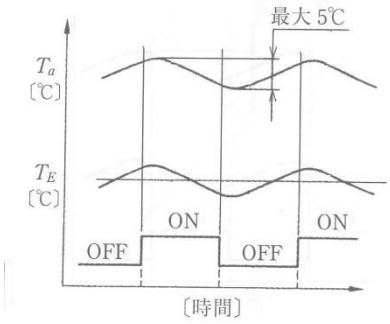
87	図5.11 図タイトル	加速カット制御	減速エネルギー回収制御
	図5.12 図内文字	追越加速信号	動力カット信号
	図5.12 図タイトル	ロック検出システム	低回転時動力カット制御
	下5行目	容量出力信号	動力カット信号
105	図6.10 図内文字	鉄板	斜板
		鉄板室	斜板室
107	図6.13 図内文字	F_c	P_c
	図6.14 右図 図内文字	制御弁印加電流大	制御弁印加電流小
111	図6.18 図内文字	流量センサ	(削除)
122	下6行目 2箇所	〔W/m²〕	〔W/m²・℃〕
	下6行目	〔W/m〕	〔W/m・℃〕
126	表6.4 パラレルフ ロータイプ 一形状	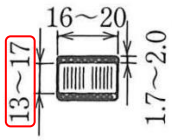	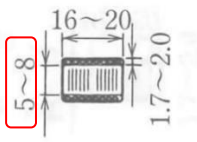

ページ	箇所	誤	正
147	図6.59 (b)端部形状	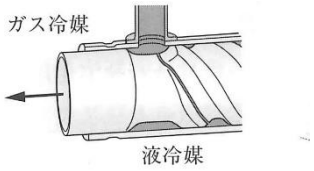 (b) 端部形状	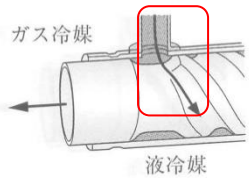 (b) 端部形状
159	4行目	(図6.76)。	(図6.76)。エバポレータのフィン温度を直接検知するフィンセンサが主流になりつつある。
160	下2行目，図6.81の2箇所	60度	40度
161	5～6行目	2D(2素子)タイプが開発されている。	2D(2素子)タイプの日射センサ（以降2Dセンサと呼ぶ）が開発されている。
	14～17行目	左右独立空調には，基本的には2対の左右日射を検出するセンサが必要であり，	2Dセンサには，
	下8～7行目	トヨタ・セルシオ（1994年～）用に	トヨタ・セルシオ（1994年～）から
183	図8.1 図内文字	20_2	20_3
184	図8.2 図内文字	1992年 モントリオール議定書（ロンドン）	1990年 モントリオール議定書
193	5,8行目	乗換え	乗せ換え
	9行目	カーエアコンの故障にはおおよそ	カーエアコンの故障はおおよそ
194	図9.3	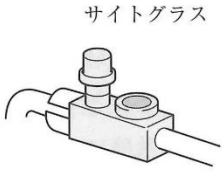	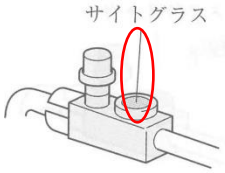
195	3行目	冷媒側の熱交換不良	冷媒側熱交換不良
	6行目	空気側の熱交換不良	空気側熱交換不良
	下2行目	冷媒側の熱交換不良	冷媒側熱交換不良
197	図9.7	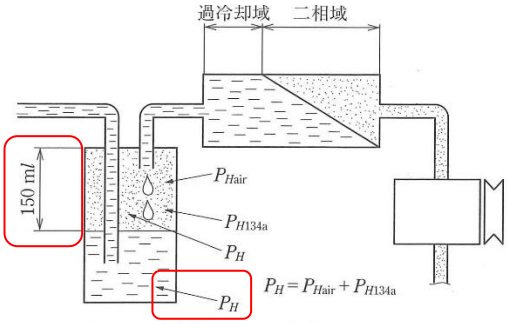 図 9.7 空気混入による冷凍サイクル変化	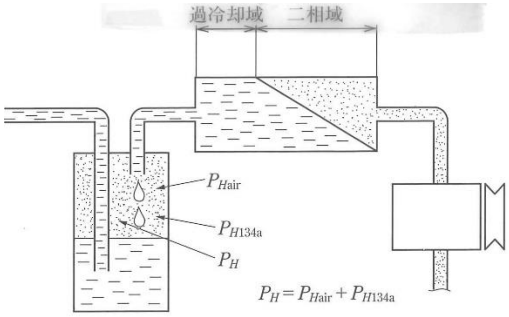 図 9.7 空気混入による冷凍サイクル変化

ページ	箇所	誤	正
197	下5行目	冷媒側の熱交換不良	冷媒側熱交換不良
198	5行目	冷媒側の熱交換不良	冷媒側熱交換不良
	11行目	このような原因としては,	(削除)
	下10行目	圧縮機	コンプレッサ
199	5行目	B. アイシング冷凍	B. アイシング
	6行目	サイクル内には	冷凍サイクル内には
200	図9.11 図内文字 2箇所	STVの故障	(削除)
206	図9.17 図内文字 2箇所	プロープ	プローブ
207	図9.18 図内文字	SC部	サブクール部
209	図10.3 図内文字 2箇所	暖気	暖機
211	図10.5 図内文字	熱交換機	熱交換器
215	4行目	EJECS®Ⅱの	(削除)
	下5行目	EJECS®Ⅱ	EJECS®Ⅰ
221	左段 下10行目	HVAC (Heating, Ventilation and Air-Conditioning) ユニット	HVAC (Heating, Ventilating and Air-Conditioning) ユニット
221	右段3行目	SET	SET*
222	左段15行目	温感 32	(削除)

2023年12月現在